

Jan KOSZELSKI

RÓWNOLEŻNIKOWE SIŁY UOGÓLNIONE W PŁASZCZU
WIELOLINOWEGO KOŁA PĘDNEGO

Streszczenie. W pracy przedstawiono znane metody wyznaczania równoleżnikowych momentów zginających i równoleżnikowych sił błonowych. Podano przykład liczbowy i porównano różne wyniki obliczeń teoretycznych oraz porównano wyniki teoretyczne z wynikami doświadczalnymi. Uproszczono równanie na obliczanie równoleżnikowych momentów.

1. WSTĘP

Do sił uogólnionych, które bierze się pod uwagę w obliczeniach stereo-mechanicznych płaszcza wielolinowego koła pędnego zalicza się: momenty południkowe i momenty równoleżnikowe oraz błonowe siły południkowe i błonowe siły równoleżnikowe. Momenty południkowe zginają tworzące płaszcza, a momenty równoleżnikowe zginają okręgi płaszcza. Kierunek sił południkowych jest zgodny z kierunkiem tworzących płaszcza, natomiast kierunek sił równoleżnikowych jest styczny do okręgów płaszcza. Momenty równoleżnikowe zostały zdeterminowane przez O. Popowicza [3], a później przez L. F. Ševčenkę [5]. Równoleżnikowe siły błonowe wyznaczono w sposób doświadczalny [1], przy czym można je obliczyć równaniami Timoszenki [4] wyprowadzonymi dla kołowo-liniowego obciążenia płaszcza, a także równaniami podanymi przez Ševčenkę [5].

Wyznaczenie południkowych sił uogólnionych było tematem pracy [2]. Natomiast w niniejszej pracy przedstawiono wyznaczanie równoleżnikowych sił uogólnionych w płaszczu wielolinowego koła pędnego różnymi znanymi dotychczas metodami i na przykładzie liczbowym, a także przy porównaniu wyników teoretycznych z wynikami doświadczalnymi.

Rozważania dotyczą płaszcza gładkiego, a stosowana terminologia jest objaśniona w pracy [1].

2. MOMENTY RÓWNOLEŻNIKOWE WEDŁUG POPOWICZA

Momenty równoleżnikowe M_r dla płaszcza gładkiego [3]:

$$M_{r(1/2, \alpha)} = -0,132 Z \sqrt{\frac{g}{R}} \left[0,0096 l^2 \frac{g}{R} \sqrt{\frac{g}{R}} \cos \alpha - \frac{1 - 8 \cos 3\alpha}{22,62} \phi_{3(1/2)} + \right. \\ \left. + \frac{1 - 24 \cos 5\alpha}{117,58} \phi_{5(1/2)} - \frac{1 - 48 \cos 7\alpha}{332,5} \phi_{7(1/2)} + \dots \right], \quad (1)$$

gdzie:

α - kąt mierzony od symetralnej dzielącej łuk obciążenia,

ϕ - funkcja położenia dana wzorem,

$$\phi_{n(1/2)} = \frac{\text{Sh} m_n l - \sin m_n l}{\text{Ch} m_n l - \cos m_n l}, \quad (2)$$

g - grubość płaszcza,

$$l = \frac{L}{R},$$

L - odległość między podporami płaszcza,

$$m_n = \frac{n}{2,62} \sqrt{\frac{g(n^2-1)}{R}},$$

$n = 2i + 1$, dla $i = 1, 2, 3, 4 \dots$

Z - naciąg liny.

W równaniu (1) w nawiasie klamrowym występują wyrazy utworzone z iloczynów trzech szeregów: funkcji położenia, przemiennego i trygonometrycznego. Uwaga ta nie dotyczy pierwszego wyrazu zawartego w nawiasie.

Funkcja położenia $\phi_{n(1/2)}$ jest szybko zbieżna do jedności i dla $n > 11$ można przyjmując jej wartość za stałą.

Ciąg wyrazów szeregu przemiennego

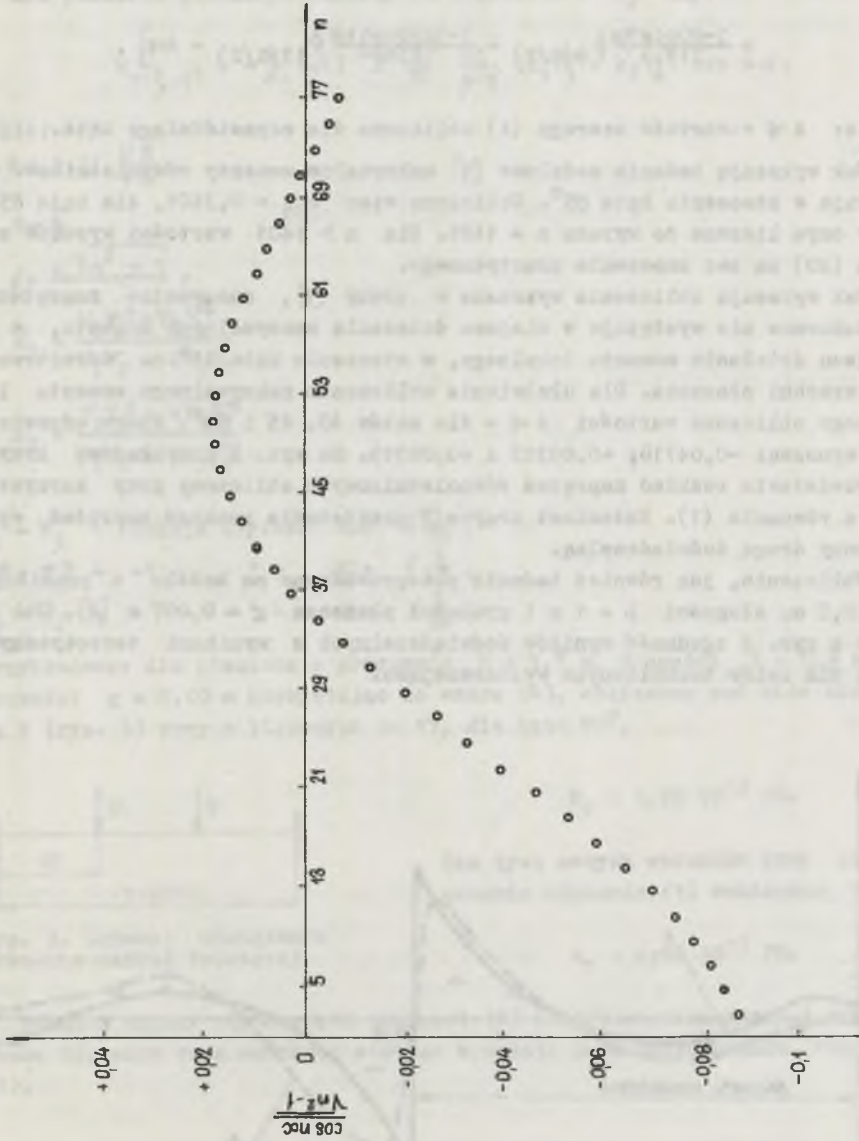
$$- \frac{1}{22,62} + \frac{1}{117,58} - \frac{1}{332,5} + \dots \frac{1}{(\sqrt{n^2-1})^3} \sin \frac{\alpha n}{2} \dots \quad (3)$$

szybko dąży do zera, a więc szereg jest zbieżny. Do obliczeń wytrzymałościowych wystarczy przyjmując wyrazy szeregu (3) do $n = 11$.

Wyrazy szeregu trygonometrycznego

$$\frac{\cos 3\alpha}{22,62} - \frac{24 \cos 5\alpha}{117,58} + \frac{46 \cos 7\alpha}{332,5} \dots \frac{(n^2-1) \cos n\alpha}{(\sqrt{n^2-1})^3} \dots \quad (4)$$

tworzą szereg składający się z sum cząstkowych dodatnich i ujemnych, które przedstawiono na rys. 1. Szereg (4) jest niezależny od wymiarów geometrycznych płaszcza i wystarczy go raz obliczyć dla danego kąta α , a wówczas równanie (1) przyjmie postać:



Rys. 1. Wartości wyrazów szeregu (4) dla kąta $\alpha = 85^\circ$

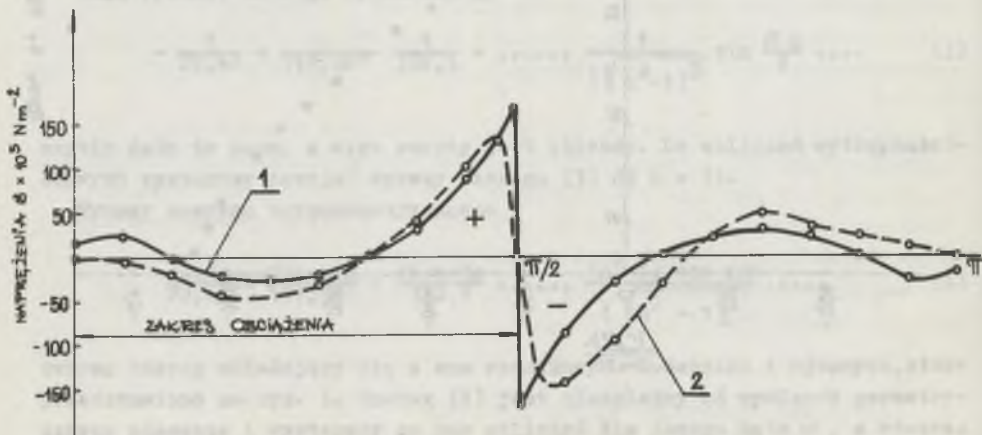
$$\begin{aligned}
 M_{r(1/2, \alpha)} = & -0,132 Z \sqrt{\frac{g}{R}} \left[0,00916 l^2 \frac{g}{R} \sqrt{\frac{g}{R}} \cos \alpha - \frac{1-8 \cos 3\alpha}{22,52} \Phi_{3(1/2)} + \right. \\
 & + \frac{1-24 \cos 5\alpha}{117,58} \Phi_{5(1/2)} - \frac{1-48 \cos 7\alpha}{332,5} \Phi_{7(1/2)} + \\
 & \left. + \frac{1-80 \cos 9\alpha}{719,9} \Phi_{9(1/2)} - \frac{1-120 \cos 11\alpha}{1313} \Phi_{11(1/2)} - A\alpha \right], \quad (5)
 \end{aligned}$$

gdzie: $A\alpha$ - wartość szeregu (4) obliczona dla odpowiedniego kąta.

Jak wykazują badania modelowe [1] maksymalne momenty równoleżnikowe występują w otoczeniu kąta 85° . Obliczono więc $A_{85} = 0,3101$, dla kąta 85° , przy czym liczono do wyrazu $n = 1401$. Dla $n > 1401$ wartości wyrazów szeregu (20) są bez znaczenia praktycznego.

Jak wykazują obliczenia wykonane w pracy [1], maksymalne naprężenie zredukowane nie występuje w miejscu działania maksymalnego momentu, a w miejscu działania momentu lokalnego, w otoczeniu kąta 45° na wewnętrznej powierzchni płaszcza. Dla ułatwienia obliczenia maksymalnego momentu lokalnego obliczono wartości $A\alpha$ - dla kątów $40, 45$ i 50° , które odpowiednio wynoszą: $-0,04718$; $+0,00313$ i $+0,08315$. Na rys. 2 przykładowo krzywa 1 przedstawia rozkład naprężeń równoleżnikowych obliczony przy korzystaniu z równania (1). Natomiast krzywa 2 przedstawia rozkład naprężeń wyznaczony drogą doświadczalną.

Obliczenia, jak również badania przeprowadzono na modelu o promieniu $R = 0,5$ m, długości $L = 1$ m i grubości płaszcza $g = 0,007$ m [1]. Jak wynika z rys. 2 zgodność wyników doświadczalnych z wynikami teoretycznymi jest dla celów technicznych wystarczająca.



Rys. 2. Rozkład naprężeń równoleżnikowych

1 - obliczony teoretycznie, 2 - wyznaczony doświadczalnie

3. MOMENTY RÓWNOLEŻNIKOWE WEDŁUG ŠEVČENKI

Dla płaszcza gładkiego momenty równoleżnikowe M_T [5]:

$$M_T(\xi, \alpha) = - \sum_{j=1}^{n-1} (-1)^j \frac{n-1}{2} \frac{2P}{\delta^2} \frac{Rn^2}{\beta^2} (k'_1 \tilde{v}_3 + k'_2 \tilde{v}_4) \cos n\alpha, \quad (6)$$

gdzie:

$$\beta = 1,31 \sqrt{\frac{R}{g}},$$

$$P = \frac{Z}{R},$$

$$\delta = \frac{n \sqrt{n^2 - 1}}{2};$$

$$k'_1 = \frac{v_1 v_3^* + v_3 v_1^*}{v_1 v_2 + 4v_3 v_4} \quad (7)$$

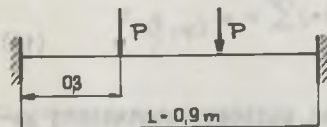
$$k'_2 = \frac{v_2 v_1^* + 4v_4 v_3^*}{v_1 v_2 + 4v_3 v_4} \quad (8)$$

$v_1 - v_4$ - funkcje Krykova dla $\delta \frac{L}{2R}$,

$v_1^* - v_3^*$ - " - " - " - dla $\delta \frac{L}{6R}$,

$\tilde{v}_3 - \tilde{v}_4$ - " - " - " - dla $\delta \frac{L}{3R}$.

Przykładowo: dla płaszcza o promieniu $R = 1,5$ m, długości $L = 0,9$ m i grubości $g = 0,02$ m korzystając ze wzoru (6), obliczono pod siłą skupioną P (rys. 3) przy n liczonych do 17, dla kąta 80° ,



$$M_T = 3,98 \cdot 10^{-3} \text{ PR.} \quad (9)$$

Dla tych samych warunków przy zastosowaniu równania (1) obliczono

$$M_T = 4,33 \cdot 10^{-3} \text{ PR.} \quad (10)$$

Rys. 3. Schemat obciążenia płaszcza wzdłuż tworzącej

Różnice między obliczonymi wynikami (9) i (10) są nieznaczne i wynoszą około 8%, przy czym wartości większe wypadają przy zastosowaniu równania (1).

4. SIŁY RÓWNOLEŻNIKOWE

Blonowe siły równoleżnikowe N_r występujące w płaszczu wielolinowego koła pędnego można teoretycznie wyznaczyć równaniami Timoshanki [4];

$$N_r = -\frac{Eg}{R} W; \quad (11)$$

gdzie:

$$W = \frac{P_0 - \beta x}{8\beta^3 D} (\sin\beta_1 x + \cos\beta_1 x), \quad (12)$$

$$D = \frac{Eg^3}{12(1-\nu^2)}. \quad (13)$$

Po podstawieniu (13) do (12) i (12) do (11):

$$N_r = \frac{\beta_1 PR}{2} e^{-\beta_1 x} (\sin\beta_1 x + \cos\beta_1 x); \quad (14)$$

$$\beta_1 = \sqrt[4]{\frac{3(1-\nu^2)}{g^2 R^2}}; \quad (15)$$

e - podstawa logarytmów naturalnych,

x - odległość od przyłożonej siły,

ν - liczba Poissona,

$$P = \frac{Z}{R}.$$

Dla $x = 0$

$$N_r = -\frac{\beta_1 PR}{2}. \quad (16)$$

Równanie (11) zostało wyprowadzone dla powłoki walcowej obciążonej kołowo-linowo w dostatecznej odległości od punktu podparcia. Natomiast w płaszczu wielolinowego koła pędnego występuje obciążenie zbliżone do liniowego i na połowie koła. Powstaje pytanie, czy równania 11-16 są adekwatne dla obciążenia płaszczu. W badaniach opisanych w pracy [1] zmierzono siły równoleżnikowe występujące na łuku obciążenia, na łuku nieobciążonym sił nie zauważono. Stąd wniosek, że równania (11-16) pod względem jakościowym są słuszne. Dla płaszczu o grubości $g = 0,02$ m, promieniu $r = 1,5$ m i długości $L = 0,9$ m przy zastosowaniu (16),

$$N_{rm} = -0,0372 PR = -5,58 P. \quad (17)$$

Według Ševčenko

$$N_r = - \frac{Eg}{R} w(\xi), \quad (18)$$

gdzie:

E - moduł Younga

$w(\xi)$ składa się z dwóch członów.

Jeden człon

$$w_1(\xi) = \frac{4PR\beta}{Eg} \cdot \frac{\Phi_3 \Phi_3^* - \Phi_2 \Phi_4^*}{\Psi_1 \Psi_2 + \Psi_3 \Psi_4} = \frac{4PR\beta}{Eg} K_3, \quad (19)$$

przedstawia ugięcie jednakowej wartości na łuku obciążenia powłoki.

Φ_{1-4} funkcje Kryłowa dla argumentu $\frac{L}{2R}$.

$$\Phi_1 = -14,5; \quad \Phi_2 = -9,15; \quad \Phi_3 = -1,91; \quad \Phi_4 = 2,66. \quad (20)$$

Φ_{3-4}^* funkcje dla argumentu $\beta \frac{L}{3R}$

$$\Phi_3^* = 1,832; \quad \Phi_4^* = 1,7063 \quad (21)$$

Dla płaszczka o parametrach: $g = 0,02$ m; $L = 0,09$ m i $R = 1,5$ m wartości funkcji Kryłowa przebiega według (20) i (21), a

$$w_1 = \frac{0,416 PR\beta}{Eg}$$

Druga składowa napięcia przebiega według funkcji cosinusów

$$w_2(\xi, \varphi) = - \sum (-1)^{\frac{(n-1)}{2}} \frac{2P}{\pi} \frac{R n^3}{E g^3} (K_1 \tilde{\Psi}_3 + K_2 \tilde{\Psi}_4) \cos n\varphi. \quad (22)$$

Dla omawianego przykładu

$$w_2(\xi, \varphi) = 2,15 \frac{PR}{Eg}$$

Siła maksymalna

$$N_{rm} = - \frac{Eg}{R} (w_1 + w_2) = - \frac{Eg}{R} (0,416 \times \frac{PR\beta}{Eg} + 2,15 \frac{PR}{Eg}) = -6,9 P. \quad (23)$$

Obliczona wzorem (16) siła N_{rm} (17) jest około 20% zaniżona w porównaniu do siły N_{rm} (23) obliczonej wzorami (18-22).

5. WNIOSKI

1. Z przykładu podanego w tekście wynika, że maksymalne momenty równoleżnikowe obliczone metodą Popowicza i metodą Ševčenko różnią się nieznacznie, około 8 %.
2. Między maksymalnymi siłami równoleżnikowymi, obliczonymi równaniem Timoshenki i równaniem Ševčenko, dla przykładu podanego w tekście zachodzi różnica rzędu 20%.

LITERATURA

- [1] Koszelski J.: Badania stanu naprężenia powłoki walcowej wielolinowego koła pędnego maszyny wyciągowej. Praca doktorska, Główny Instytut Górnictwa, Katowice 1973.
- [2] Koszelski J.: Południkowe siły uogólnione w płaszczu wielolinowego koła pędnego. Praca oddana do druku.
- [3] Popowicz O.: Maszyny wyciągowe, bębny i koła pędne. Politechnika Śląska, Gliwice 1964.
- [4] Timoshenko S.P. i Woynowsky-Krieger S.: Teoria płyt i powłok. Arkady, Warszawa 1962.
- [5] Ševčenko F.L.: Približennyj rasčet oboločki podemnoj masiny MK-3,25x4. Razrabotka mestoroždenij poleznych iskropaemych, nr 29, 153 Izdatelstwo "Technika", Kijów 1972.

Wpłynęło do Redakcji 7.05.1982 r.

Recenzent: Doc. dr inż. Tadeusz Zmysłowski

ШИРОТНЫЕ ОБОБЩЕННЫЕ СИЛЫ В КОЖУХЕ МУЛЬТИЛИНЕЙНОГО ПРИВОДНОГО ШКИВА

Р е з ю м е

В работе представлены известные методы определения широтных изгибающих моментов и широтных оболочных сил. Дан численный пример и сравнены разные результаты теоретических расчетов, а также сравнены теоретические и опытные результаты. Сокращены уравнения расчета широтных моментов.

GENERALIZED PARALLEL FORCES IN THE JACKET OF MULTILINEAR KOEPE PULLEY

S u m m a r y

The paper presents well-known methods of calculating parallel bending moments and parallel membrane forces. A numerical example is given and various results of theoretical calculations are compared. Also theoretical results were compared with experimental ones. An equation for calculating parallel moments is reduced.

Wprowadzenie: W pracy podano metody obliczania momentów zginających i sił błonowych równoleżnikowych. Podano przykład numeryczny i porównano różne wyniki obliczeń teoretycznych z wynikami doświadczalnymi. Równanie obliczania momentów zginających zostało zredukowane.

1. WSTĘP

W pracy przedstawiono metody obliczania momentów zginających i sił błonowych równoleżnikowych. Podano przykład numeryczny i porównano różne wyniki obliczeń teoretycznych z wynikami doświadczalnymi. Równanie obliczania momentów zginających zostało zredukowane.

W pracy przedstawiono metody obliczania momentów zginających i sił błonowych równoleżnikowych. Podano przykład numeryczny i porównano różne wyniki obliczeń teoretycznych z wynikami doświadczalnymi. Równanie obliczania momentów zginających zostało zredukowane.